

IV-4

圧密における固めき水圧の測定について

九州大学工学部

正員

山内豊聰

同

同

○安原一哉

同

准員

松井謙二

1. まえがき

著者らはローム質×山灰土および有機質土の二次圧密特性を研究する一環として、圧密試験における固めき水圧の測定を行なつた。Terzaghi の圧密理論が固めき水圧に関するものであるにもかかわらず、圧密試験において固めき水圧の測定を行なつた例は少なくて、しかもいざれど time-lag 等を牛^{(1), (2), (3)}にした装置の flexibility に関するもので、二次圧密による連づけて研究したものはない、あるべくない。

ここでは、二次圧密が新しいといわれる Y-L 層、黒ボウを例にとって、(1)発生する固めき水圧の理論とどのようになり得るか、(2)それに対する推定されると二次圧密量および二次圧密比、圧密係数が従来の解析法 (legt 法、P 法、log-log 法) による計算値とどのようにならかを述べ、time-lag 等について若干の考察を加えてやる。

2. 試料および試験方法

実験に用いた試料は、黒ボウおよび Y-L 层どちらの物理的性質は表-1 に示す通りである。供試体はいずれも練り直したものとし、その寸法は $60 \text{ mm} \times 20 \text{ mm}^2$ 、図-1 に示すようにセントリル前記載荷タッパーを通じ試験機下部より給水する。セントリル供試体

	黒ボウ	Y-L 层
土粒子比重	2.298	1.769
液性限界	150 %	—
塑性限界	90 %	—
初期固有比	2.17 ~ 2.64	18.0 ~ 18.0
初期含水比	131 ~ 157	650 ~ 900

表-1. 試料の物理的性質

に加えられた荷重は、(1) $0 \sim 0.4 \sim 0.8 \text{ kg/cm}^2$ ($\Delta P = 1$)、
 (2) $0 \sim 0.4 \sim 1.2 \text{ kg/cm}^2$ ($\Delta P = 2$)、(3) $0 \sim 0.4 \sim 0.6 \text{ kg/cm}^2$ ($\Delta P = \frac{1}{2}$) の三種類とする。図-1 の圧力ヘッドはストレインメータ、ボラストン、レシーバー等を用いて容積 5 cm^3 のもので、載荷と同じ時にここで伝えられた圧力を増幅された後オシログラフに取り出されるようになっている。

3. 実験の結果と考察

(1) 載荷荷重 $\Delta P \text{ kg/cm}^2$ によって発生する固めき水圧を $\Delta u \text{ kg/cm}^2$ とすると載荷直後 $t=0$ における理論的式は $\Delta P = \Delta u$ と成るはずである。しかしながら、測定されることは最大固めき水圧 Δu_p は表-2 をみてわかるように一般に載荷荷重 ΔP より小さくなるのは(1)微少空隙混入、側壁マサツ、機械的誤差等の装置 flexibility による、(2)構造材料上分子間結合によるもの、(3) mineral skeleton が低圧縮性を示すためと考

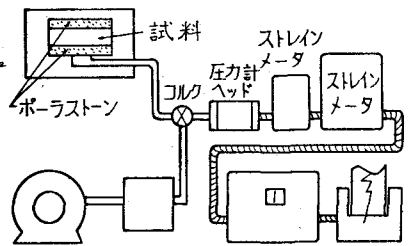


図-1. 装置図

試料名	$\Delta P \text{ kg/cm}^2$	$\Delta u_p \text{ kg/cm}^2$	$\Delta u_{\text{exp}} \text{ kg/cm}^2$	平均値
黒ボウ	0.4	(1) 0.325	81.3	77.6
	" (2) 0.256	63.9		
	" (3) 0.290	72.6		
Y-L 层	" (1) 0.222	81.4	82.9	
	" (2) 0.223	80.8		
	" (3) 0.250	87.6		

表-2. 最大固めき水圧の載荷荷重に対する割合

えられる。それゆえ同一条件下で実験が行はれるならば、低圧縮性土ほど $\Delta U / \Delta P$ の値が小さく余すところが予想されるが、それについてには現在検討中の2次回に報告したい。

(2) 図-2、図-3にそれぞれ黒ボウ、ソーラ層の間ヶキ水圧消散曲線を示す。これらをみると、いずれも実測曲線は理論曲線とは余り合わないがソーラ層の方より $\Delta U / \Delta P = 1$ と 2 の間に位置するやや理論曲線に近似している。黒ボウの方もまた平行移動させると近似する傾向にある。これは実測曲線が time-log を走らせるために他ならぬ。

(3) 図-4、5に示すように圧密試験の結果の解析法(log t 法、H法、log-log 法)によって求められた 100% 壓密度(すなわち間ヶキ水圧が理論的にゼロにならぬ)と、実測による間ヶキ水圧ゼロ度とは必ずしも一致しておらず、それゆえ一次圧密比や圧密係数の計算値にかなりの誤差がある。その計算結果の一例を表-3、表-4 に示す。間ヶキ水圧の実測例によつて一次圧密比、圧密係数を求めるのは、間ヶキ水圧ゼロ度における時間、沈下量をきめかねた d_{100} 、 d_{50} とし、log t 法に基づいて計算する。

表-3. きめかねた一次圧密比は間ヶキ水圧実測により計算された値(以下実測値と称す)は H 法、log t 法、log-log 法のいずれかより大きい。ヒリヤードヒンモーの解析法は実際よりもこ次圧密量を多く見積りすぎているといふことになり、ヒリヤケ H 法は著しく雑なつくり。また実測値によれば荷重増加率 $\Delta U / \Delta P$ がトドく小さなところ

ソーラ層、黒ボウのどちらも二次圧密比

(全沈下量に対するこ次圧密量の割合)を表-3 では推測(未だ示す)は大きな値とされており、従来の多くの研究においても荷重増加率 $\Delta U / \Delta P$ が二次圧密への影響に因る結論の正しいことを裏付けている。

ソーラ層と黒ボウの実測法による二次圧密比を比較するとソーラ層の方が黒ボウよりもかなり大きくなっている。

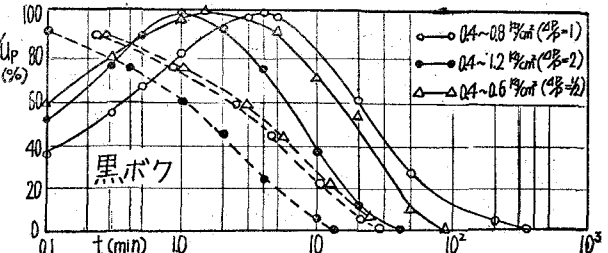


図-2. 間ヶキ水圧 消散曲線
(実線は理論曲線を示す)

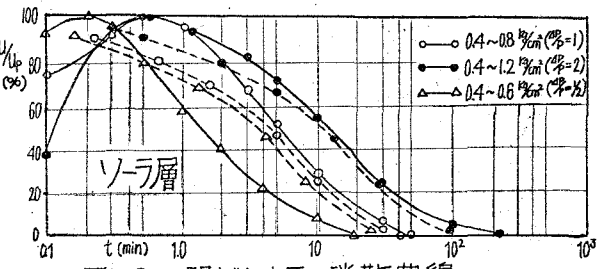


図-3. 間ヶキ水圧 消散曲線
(実線は理論曲線を示す)

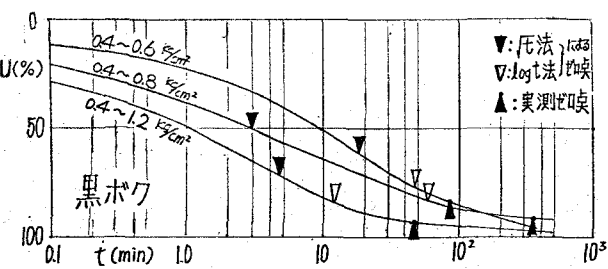


図-4. 時間-沈下曲線

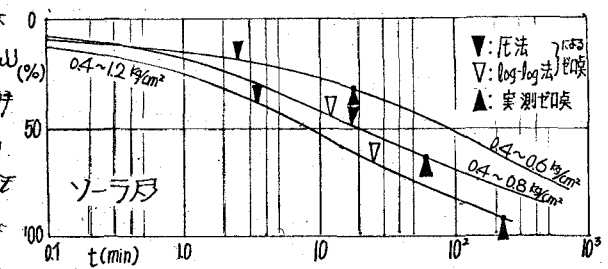


図-5. 時間-沈下曲線

アは必ずしも一剖前後であるが、ヨーラ層の方は黒木より多くてニ次圧密量を示すと結論するには向直いである。なぜなら三笠氏も指摘するように、ニ次圧密比が小アル(すなはちニ次圧密比が大きい)土ほどニ次圧密量が多いと一般に考えられるけれども、いくらかニ次圧密量が多く示す塑性的粘土であり、もし透水性が小さくてニ次圧密が終了するのに長時間を要すればニ次圧密比の値は大きく(ニ次圧密比が小さくなる)なるはさうだからである。それゆえ、剛サキ水压につけても早く消失する粘土が少らずしてニ次圧密量が多いことは限らない。

以上の点を考慮してみると土質試験法で求められていけるニ次圧密比の計算値がどの表示が無意味かうであり、三笠氏のようにやめさせたという意見があるのも当然である。しかしながら、ニセコで検討されたように剛サキ水压の等動力沈下量に対する荷重増加率の影響、あるいは供試体高さの影響を考察するときの一つの大いな目安となることは確かである。

	(1)P _p	(2)log ₁₀ 法	(3)T _p 法	(4)log ₁₀ 法	(5)実測法	(6)算定法	(7)-(1)	(8)-(2)
リーラ層	1	—	0.647 (0.677)	0.644 (0.624)	0.596 (0.576)	0.152 (0.148)	0.129 (0.101)	
	2	—	0.693 (0.622)	0.650 (0.620)	0.588 (0.589)	0.203 (0.197)	0.090 (0.091)	
	1/2	—	0.170 (0.162)	解説用 (解説用)	0.250 (0.249)	— (0.069)	0.071 (0.069)	
黒木	1	0.667 (0.656)	0.725 (0.706)	—	0.726 (0.696)	0.059 (0.060)	0.081 (0.046)	
	2	0.755 (0.711)	0.834 (0.793)	—	0.838 (0.806)	0.057 (0.058)	0.037 (0.038)	
	1/2	0.710 (0.677)	0.820 (0.789)	—	0.710 (0.677)	0 (0.069)	0.130 (0.111)	

表-3. 一次圧密比(r)の比較

	(1)P _p	(2)log ₁₀ 法	(3)T _p 法	(4)実測法	(5)算定法	(6)-(1)	(7)-(2)
Y-ラ層	1	—	2.68×10 ³	5.21×10 ³	1.48×10 ³	3.62	1.59
	2	—	1.03×10 ³	1.57×10 ³	4.81×10 ³	2.01	1.10
	1/2	—	9.41×10 ³	解説不可	2.26×10 ³	—	4.07
黒木	1	3.20×10 ³	2.04×10 ³	—	2.42×10 ³	1.82	0.97
	2	6.55×10 ³	1.08×10 ³	—	6.55×10 ³	1.00	1.65
	1/2	4.21×10 ³	6.89×10 ³	—	2.51×10 ³	0.17	0.27

表-4. 圧密係数(C_v)の比較

表-4. は圧密係数の計算値を比較したものであるが、ヨーラ層の方は計算値の方が実測値よりも大きいなり大きくなつていいが、黒木の方は荷重増加率の小さい場合($\Delta P = \frac{1}{2}$)を除いては、計算値と実測値とはほぼ一致しておりG.A. Leonardらの研究と同じ結果を得つた。

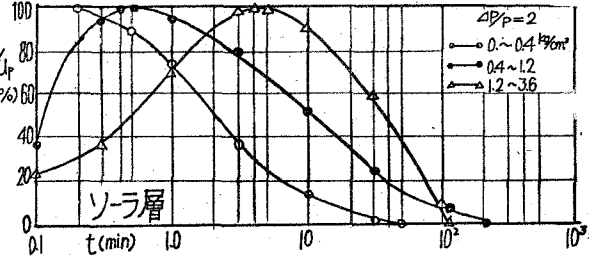


図-6. 間接水压消散曲線におけるTime-Lag

(4) 図-6 に示すような間接水压のtime-lag は理論曲線とのずれを起し、また(3)で述べたようにニ次圧密に対する考え方による誤解を生じやすいために、その原因を明らかにしておきたいと思ふ。もちろんそれは、装置のflexibilityによるため、あるいは透水性の低下によるため等考えられるが、これらが別々に作用するのではないと一体となつてtime-lag を起してしまつてあつた。

4. 結論

以上の実験結果より次のふうな結論が得られる。

- (1)発生する最大間接水压は一般に載荷荷重より小さい。
- (2)間接水压消散曲線が理論曲線とのずれをみせる原因の一つには、time-lag が導入してしまつたと考えられる。
- (3)ニ次圧密比や圧密係数については、間接水压の実測値から考案すると従来の解釈法は黒木の方では16~45%(圧法では10~45%, log₁₀法では4~6%), ヨーラ層については6~50%(圧法では6~50%, log₁₀法では15~20%)などニ次圧密量を大きく見積りがちの傾向にある。

た圧密係数を持った場合増加率が小さいとき ($\Delta P_p = \frac{1}{2}$) には実測値より著しく大きくなる。ただし二次圧密が著しいといわれる実験の場合は、 $\Delta P_p = \frac{1}{2}$ の場合を除けば実測値とよく一致しており Terzaghi 理論に合致している。

(4)間欠水压の消散の遅い施工がならずしそう二次圧密量が少ないとはいえない。なぜなら二次圧密量が大きいと考えられる土でも透水性が小さければ発生した間欠水压の消散に長い時間を要するはずだからである。

以上の点について最も内陸におけるものは供試体厚さの影響、つまり試料の相似則を明らかにするなどあり、普通の施工との比較を含めて今後検討を加える積りである。

参考文献

- 1) Whitman, R.V., et al : Time-lags in Pore Pressure Measurement, Proc. 5th. Int. Conf. S.M.F.E. Vol 1, PP 407~11
- 2) Nathy, R.D., et al : Consolidation Test pore Pressure, Proc. 6th. Int. Conf. S.M.F.E. Vol 1, PP 323~7
- 3) Perloff, W.H., et al : Effect of Measuring System on Pore Water Pressure, Proc. 6th. Int. Conf. S.M.F.E., Vol 1, PP 338~41
- 4) Christie, I.F. : Secondary Compression Effects during One-Dimensional Consolidation Tests, Proc. 6th. Int. Conf. S.M.F.E., Vol 1, PP 198~202
- 5) 大平至徳, 小谷章: 圧密試験結果の一整理法, 第3回土工直工等研究発表会, 1968
- 6) 三笠正人: 圧密試験の整理方法について, 第19回土木学会年次学術講演会講演概要, 1964
- 7) Leontides, G. A. and P. Girault : A Study of the One Dimensional Consolidation Test, Proc. 5th. Int. Conf. S.M.F.E., Vol 1, PP 213~8